

Stabilité des systèmes non-linéaires à commutation avec retards de détection des modes actifs

K.M.D. MOTCHON , L. ETIENNE et S. LECOEUICHE

15 novembre 2018



IMT Lille Douai
École Mines-Télécom
IMT-Université de Lille

Plan de la présentation

- 1 Formulation générale des problèmes traités
- 2 Analyse de la stabilité : cas non perturbé
 - Formalisme hybride du système
 - Conditions suffisantes de stabilité
 - Exemple numérique
- 3 Analyse de la stabilité et synthèse de commande : cas sans incertitude
 - Conditions générales d'analyse de la stabilité
 - Conditions SoS pour l'analyse dans le cas polynomial
 - Synthèse de la commande dans le cas linéaire
- 4 Travaux en cours

- 1 Formulation générale des problèmes traités
- 2 Analyse de la stabilité : cas non perturbé
 - Formalisme hybride du système
 - Conditions suffisantes de stabilité
 - Exemple numérique
- 3 Analyse de la stabilité et synthèse de commande : cas sans incertitude
 - Conditions générales d'analyse de la stabilité
 - Conditions SoS pour l'analyse dans le cas polynomial
 - Synthèse de la commande dans le cas linéaire
- 4 Travaux en cours

■ Considérons le système à commutation :

$$\dot{x}(t) = F_{\sigma(t)}(x(t), u(t), \lambda(t), v(t)), \quad \forall t \notin \{t_k^\sigma\}_{k \in \mathbb{N}} \quad (1)$$

- $\sigma: \mathbb{R}_+ \rightarrow \mathcal{P} \subset \mathbb{N}$, le signal de commutation
- t_k^σ , instants de commutation
- $x(t)$, le vecteur d'état
- $\lambda(t)$, incertitude paramétrique
- $v(t)$, entrée inconnue (perturbation)

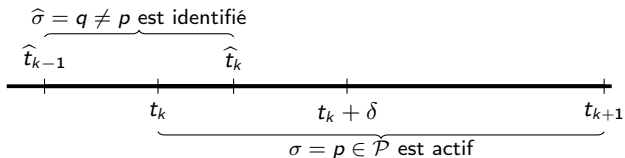
■ Commande u dépendant des modes :

$$u(t) = G_{\hat{\sigma}(t)}(x(t)), \quad \forall t \neq t_k^\sigma, \forall t \neq t_k^{\hat{\sigma}} \quad (2)$$

- $\hat{\sigma}: \mathbb{R}_+ \rightarrow \mathcal{P}$, une estimation de σ
- $t_k^{\hat{\sigma}}$, estimation de t_k^σ

■ Hypothèses sur σ et $\hat{\sigma}$

- Délai maximum δ de détection du mode actif, $t_k^{\hat{\sigma}} - t_k^{\sigma} \leq \delta$



- Signal de commutation lent : MDT (minimum dwell time), ADT (average dwell time)

■ Problèmes : Analyse de stabilité et synthèse de commande du système (1)–(2).

- 1 Formulation générale des problèmes traités
- 2 **Analyse de la stabilité : cas non perturbé**
 - Formalisme hybride du système
 - Conditions suffisantes de stabilité
 - Exemple numérique
- 3 Analyse de la stabilité et synthèse de commande : cas sans incertitude
 - Conditions générales d'analyse de la stabilité
 - Conditions SoS pour l'analyse dans le cas polynomial
 - Synthèse de la commande dans le cas linéaire
- 4 Travaux en cours

- Pas d'entrée inconnue (perturbé) : (1)-(2) \implies système de commutation de la forme

$$\begin{aligned}\dot{x}(t) &= f_{\sigma(t)\hat{\sigma}(t)}(x(t), \lambda(t)), \quad \forall t \notin \{t_k^\sigma\}_{k \in \mathbb{N}^*} \cup \{t_k^{\hat{\sigma}}\}_{k \in \mathbb{N}^*} \\ x(t) &= \lim_{s \rightarrow t, s < t} x(s), \quad \forall t \in \{t_k^\sigma\}_{k \in \mathbb{N}^*} \cup \{t_k^{\hat{\sigma}}\}_{k \in \mathbb{N}^*}\end{aligned}$$

■ Hypothèses

- Incertitudes polytopiques :

$$f_{\sigma(t)\hat{\sigma}(t)}(x(t), \lambda(t)) \in \text{conv} \left\{ f_{\sigma(t)\hat{\sigma}(t)}^1(x(t)), \dots, f_{\sigma(t)\hat{\sigma}(t)}^m(x(t)) \right\}$$

- Délai maximum δ de détection du mode actif, $t_k^{\hat{\sigma}} - t_k^\sigma \leq \delta$
- MDT (minimum dwell time) : $t_{k+1}^\sigma - t_k^\sigma \geq \tau_s$
- Détection du mode actif avant écoulement du temps de séjour : $\tau_s > \delta$

- **Question** : déterminer des conditions suffisantes sur $f_{p,q}^r$, τ_s et δ pour que le système non-linéaire à commutation soit asymptotiquement stable.

- 1 Formulation générale des problèmes traités
- 2 **Analyse de la stabilité : cas non perturbé**
 - **Formalisme hybride du système**
 - Conditions suffisantes de stabilité
 - Exemple numérique
- 3 Analyse de la stabilité et synthèse de commande : cas sans incertitude
 - Conditions générales d'analyse de la stabilité
 - Conditions SoS pour l'analyse dans le cas polynomial
 - Synthèse de la commande dans le cas linéaire
- 4 Travaux en cours

■ Formalisme hybride de Goebel et al. (2012)

$$\mathcal{H} : \begin{cases} \xi \in \mathcal{C}_{\mathcal{H}}, & \dot{\xi} \in F_{\mathcal{H}}(\xi), \\ \xi \in \mathcal{D}_{\mathcal{H}}, & \xi^+ \in G_{\mathcal{H}}(\xi). \end{cases}$$

- ξ état hybride du système
- $\mathcal{C}_{\mathcal{H}}$ espace des "flow" ; $F_{\mathcal{H}}(\xi)$ fonction des "flow"
- $\mathcal{D}_{\mathcal{H}}$ espace de "jump" ; $G_{\mathcal{H}}(\xi)$ fonction de "jump"

■ Résultat de stabilité des systèmes hybrides

Théorème (R. Goebel et al. 2012). Soit $\mathcal{A} \subseteq \mathbb{R}$ un ensemble fermé. Si $\mathbf{V} : \text{dom } \mathbf{V} \rightarrow \mathbb{R}$ est une fonction de Lyapunov candidate du système \mathcal{H} et s'il existe $\alpha_1, \alpha_2 \in \mathcal{K}_{\infty}$ et une fonction définie-positive $\rho : \mathbb{R}_+ \rightarrow \mathbb{R}_+$ t.q.

(a) $\forall v \in \overline{\mathcal{C}_{\mathcal{H}}} \cup \mathcal{D}_{\mathcal{H}} \cup G(\mathcal{D}_{\mathcal{H}}), \alpha_1(|v|_{\mathcal{A}}) \leq \mathbf{V}(v) \leq \alpha_2(|v|_{\mathcal{A}})$

(b) $\forall v \in \mathcal{C}_{\mathcal{H}}, \varphi \in F_{\mathcal{H}}(v), \langle \nabla \mathbf{V}(v), \varphi \rangle \leq -\rho(|v|_{\mathcal{A}})$

(c) $\forall v \in \mathcal{D}_{\mathcal{H}}, \forall \psi \in G_{\mathcal{H}}(v), \mathbf{V}(\psi) - \mathbf{V}(v) \leq -\rho(|v|_{\mathcal{A}})$

alors \mathcal{A} est UGpAS pour le système \mathcal{H} .

R. Goebel, R.G. Sanfelice and A.R. Teel. *Hybrid Dynamical Systems : modeling, stability, and robustness*, Princeton University Press, 2012.

- État hybride

$$\xi = (x \quad \sigma \quad \hat{\sigma} \quad \tau \quad s)^T \in \mathbb{R}^n \times \mathcal{P}^2 \times \mathbb{R}^+ \times \{0, 1\}$$

☞ τ un "timer"

☞ s variable logique indiquant la possibilité du système à commuter

- Espace et fonction de "flow"

$$F_{\mathcal{H}}(\xi) = \begin{cases} (f_{pq}^T(x, \lambda) \quad 0 \quad 0 \quad 1 \quad 0)^T & \text{si } \xi \in \mathcal{C}_{pq}, \\ (f_{pp}^T(x, \lambda) \quad 0 \quad 0 \quad 1 \quad 0)^T & \text{si } \xi \in \mathcal{C}_p^0 \cup \mathcal{C}_p^1, \\ \emptyset & \text{sinon} \end{cases}$$

☞ $\mathcal{C}_{pq} = \{\xi : \sigma = p \neq q = \hat{\sigma}, s = 1, \tau \in [0; \delta]\}$

☞ $\mathcal{C}_p^0 = \{\xi : \sigma = \hat{\sigma} = p, s = 0, \tau \in [0; \tau_s]\}$

☞ $\mathcal{C}_p^1 = \{\xi : \sigma = \hat{\sigma} = p, s = 1, \tau \in [\tau_s; +\infty[\}$

$$\mathcal{C}_{\mathcal{H}} = (\cup_{p \neq q \in \mathcal{P}} \mathcal{C}_{pq}) \cup (\cup_{p \in \mathcal{P}} \mathcal{C}_p^0) \cup (\cup_{p \in \mathcal{P}} \mathcal{C}_p^1)$$

- Espace et fonction de "jump"

$$G(\xi) = \begin{cases} (x^\top & \sigma & \sigma & \tau & 0)^\top & \text{si } \xi \in \mathcal{D}_{pq} = \mathcal{C}_{pq}, \\ (x^\top & \sigma & \hat{\sigma} & \tau & 1)^\top & \text{si } \xi \in \mathcal{D}_p^0, \\ (x^\top & \mathcal{P} \setminus \{p\} & \hat{\sigma} & 0 & 1)^\top & \text{si } \xi \in \mathcal{D}_p^1 = \mathcal{C}_p^1, \\ \emptyset & & & & & \text{sinon.} \end{cases}$$

$$\Rightarrow \mathcal{D}_p^0 = \{\xi : s = 0, \tau = \tau_s, \sigma = \hat{\sigma} = p\}$$

$$\mathcal{D}_{\mathcal{H}} = (\cup_{p \neq q \in \mathcal{P}} \mathcal{D}_{pq}) \cup (\cup_{p \in \mathcal{P}} \mathcal{D}_p^0) \cup (\cup_{p \in \mathcal{P}} \mathcal{D}_p^1)$$

UGpAS de l'ensemble

$$\mathcal{A} = \left\{ \xi = (x \quad \sigma \quad \hat{\sigma} \quad \tau \quad s)^\top : x = \mathbf{0}_n, \sigma \in \mathcal{Q}, \hat{\sigma} \in \mathcal{Q}, \tau \in \mathbb{R}_+ \text{ et } s \in \{0, 1\} \right\}$$

par rapport au système hybride \mathcal{H}

- 1 Formulation générale des problèmes traités
- 2 **Analyse de la stabilité : cas non perturbé**
 - Formalisme hybride du système
 - **Conditions suffisantes de stabilité**
 - Exemple numérique
- 3 Analyse de la stabilité et synthèse de commande : cas sans incertitude
 - Conditions générales d'analyse de la stabilité
 - Conditions SoS pour l'analyse dans le cas polynomial
 - Synthèse de la commande dans le cas linéaire
- 4 Travaux en cours

Théorème (Etienne et al. 2018). Supposons qu'il existe des fonctions continument dérivables $V_{p,q}$, V_p , ρ , $q \in \mathcal{P}$ et des fonctions de classe \mathcal{K}_∞ , $\underline{\kappa}_{p,q}$, $\bar{\kappa}_{p,q}$, $\underline{\alpha}_{p,q}$, $\bar{\alpha}_{p,q}$ et ρ telles que

$$(a) \quad \forall p, q \in \mathcal{P},$$

$$\begin{aligned} \underline{\kappa}_{p,q}(\|x\|) &\leq V_{p,q}(x, \tau) \leq \bar{\kappa}_{p,q}(\|x\|), \quad \forall \tau \in [0; \eta_{p,q}] \\ \underline{\alpha}_{p,q}(\|x\|) &\leq V_p(x, \tau) \leq \bar{\alpha}_p(\|x\|), \quad \forall \tau \in [\tau_s; +\infty[\end{aligned}$$

avec

$$\eta_{p,q} = \begin{cases} \delta & \text{if } p \neq q \\ \tau_s & \text{if } p = q \end{cases}$$

$$(b) \quad \forall p, q \in \mathcal{P} \text{ et } \forall r = 1, 2, \dots, m$$

$$\begin{aligned} \langle \partial_x V_{p,q}(x, \tau), f_{p,q}^r(x) \rangle + \partial_\tau V_{p,q}(x, \tau) &\leq -\rho(\|x\|), \quad \forall \tau \in [0; \eta_{p,q}] \\ \langle \partial_x V_p(x, \tau), f_{p,p}^r(x) \rangle + \partial_\tau V_p(x, \tau) &\leq -\rho(\|x\|), \quad \forall \tau \in [\tau_s; +\infty[\end{aligned}$$

$$(c) \quad \forall p \neq q \in \mathcal{Q},$$

$$\begin{aligned} V_{p,p}(x, \tau) - V_{p,q}(x, \tau) &\leq -\rho(\|x\|), \quad \forall \tau \in [0; \delta] \\ V_p(x, \tau_s) - V_{p,p}(x, \tau_s) &\leq -\rho(\|x\|) \\ V_{p,q}(x, 0) - V_q(x, \tau) &\leq -\rho(\|x\|), \quad \forall \tau \in [\tau_s; +\infty[\end{aligned}$$

Alors l'ensemble \mathcal{A} est UGpAS pour le système \mathcal{H} .

L. Etienne, K.M.D. Motchon and S. Lecoeuque, **Stability analysis for switched uncertain nonlinear systems with dwell time and delay in the active mode detection**. IEEE Control Systems Letters, 2018 (Accepted)

$$Q: \mathbb{R}^r \longrightarrow \mathbb{R} \text{ est un polynôme SoS} \iff Q(z) = \sum_{i=1}^{\kappa} h_i^2(z), \forall z \in \mathbb{R}^r$$

Théorème (Etienne et al. 2018). Supposons que $\forall p, q \in \mathcal{P}$ et $\forall k = 1, 2, \dots, m$ les fonctions f_{pq}^k soient polynomiales. S'il existe $\varepsilon > 0$ et des polynômes **SoS** $V_{pq}(x, \tau)$, $V_p(x)$, $\pi_{pq}(x, \tau)$, $\tilde{\pi}_{pq}(x, \tau)$ et $\tilde{\pi}_p(x, \tau)$ t.q.

(a) $\forall p, q \in \mathcal{P}$,

$$V_{pq}(x, \tau) - \pi_{pq}(x, \tau) \mu_{\eta_{pq}}(\tau) - \varepsilon \|x\|^2 \text{ est SoS}$$

$$V_p(x) - \varepsilon \|x\|^2 \text{ est SoS}$$

(b) $\forall p, q \in \mathcal{P}$ et $\forall r = 1, 2, \dots, m$

$$-\langle \partial_x V_{pq}(x, \tau), f_{pq}^r(x) \rangle - \partial_\tau V_{pq}(x, \tau) - \tilde{\pi}_{pq}(x, \tau) \mu_{\eta_{pq}}(\tau) - \varepsilon \|x\|^2 \text{ est SoS}$$

$$\langle \partial_x V_p(x), f_{pp}^r(x) \rangle - \varepsilon \|x\|^2 \text{ est SoS}$$

(c) $\forall p \neq q \in \mathcal{P}$,

$$V_{pq}(x, \tau) - V_{pp}(x, \tau) - \mu_\delta(\tau) - \varepsilon \|x\|^2 \text{ est SoS}$$

$$V_{pp}(x, \tau_s) - V_p(x) - \varepsilon \|x\|^2 \text{ est SoS}$$

$$V_q(x) - V_{pq}(x, 0) - \tilde{\pi}_p(x, \tau) \tau - \varepsilon \|x\|^2 \text{ est SoS}$$

où $\mu_\beta(\tau) = \tau(\beta - \tau)$, $\beta \in \{\eta_{pq}, \delta\}$ alors \mathcal{A} est UGpAS pour le système \mathcal{H} .

- 1 Formulation générale des problèmes traités
- 2 **Analyse de la stabilité : cas non perturbé**
 - Formalisme hybride du système
 - Conditions suffisantes de stabilité
 - **Exemple numérique**
- 3 Analyse de la stabilité et synthèse de commande : cas sans incertitude
 - Conditions générales d'analyse de la stabilité
 - Conditions SoS pour l'analyse dans le cas polynomial
 - Synthèse de la commande dans le cas linéaire
- 4 Travaux en cours

- $\mathbb{R}^2 \ni \dot{x}(t) = A_{\sigma(t)}(x(t), \theta) + B_{\sigma(t)} u(t); u(t) = K_{\hat{\sigma}(t)} x(t) \in \mathbb{R}$

$$\theta \in [-1.3; -0.9] \quad ; \quad \sigma(t) \in \{1, 2\} \quad ; \quad \hat{\sigma}(t) \in \{1, 2\}$$

$$A_1(x, \theta) = \begin{pmatrix} -x_1 + x_2 + \theta x_1^3 + x_1 x_2 \\ 2x_2 \end{pmatrix}; B_1 = \begin{pmatrix} 0 \\ 1 \end{pmatrix}; K_1 = \begin{pmatrix} 0 \\ -3 \end{pmatrix}^\top$$

$$A_2(x, \theta) = \begin{pmatrix} x_1 + x_2 \\ \theta x_2^3 - x_2 + x_1 \end{pmatrix}; B_2 = \begin{pmatrix} 1 \\ 0 \end{pmatrix}; K_2 = \begin{pmatrix} -2 \\ -1 \end{pmatrix}^\top.$$

- $\mathcal{P} = \{1, 2\}; m = 2$; sommets du polytope

$$p, q = 1, 2, \quad f_{pq}^1(x) = A_p(x, \underline{\theta}) + B_p K_q x \quad \text{et} \quad f_{pq}^2(x) = A_p(x, \bar{\theta}) + B_p K_q x$$



$$\dot{x} = f_{\sigma \hat{\sigma}}(x), \quad \sigma(t) \in \mathcal{P}, \hat{\sigma}(t) \in \mathcal{P} \text{ et } f_{pq}(x) \in \text{conv} \{f_{pq}^1(x), f_{pq}^2(x)\}$$

- Résultats numériques, $\tau_s = 2$

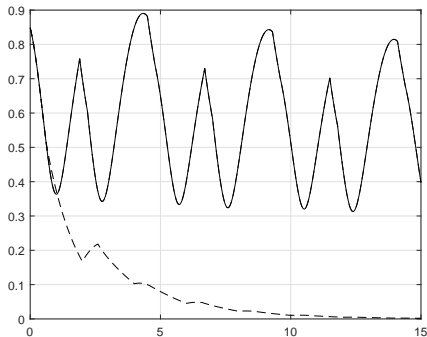


Figure – $\|x(\cdot)\|$ pour $\delta = 0.6$ (en pointillé) et $\delta = 1.7$ (en ligne continue)

- Stabilité asymptotique garantie jusqu'à $\delta = 0.6$.

- 1 Formulation générale des problèmes traités
- 2 Analyse de la stabilité : cas non perturbé
 - Formalisme hybride du système
 - Conditions suffisantes de stabilité
 - Exemple numérique
- 3 Analyse de la stabilité et synthèse de commande : cas sans incertitude
 - Conditions générales d'analyse de la stabilité
 - Conditions SoS pour l'analyse dans le cas polynomial
 - Synthèse de la commande dans le cas linéaire
- 4 Travaux en cours

- 1 Formulation générale des problèmes traités
- 2 Analyse de la stabilité : cas non perturbé
 - Formalisme hybride du système
 - Conditions suffisantes de stabilité
 - Exemple numérique
- 3 **Analyse de la stabilité et synthèse de commande : cas sans incertitude**
 - **Conditions générales d'analyse de la stabilité**
 - Conditions SoS pour l'analyse dans le cas polynomial
 - Synthèse de la commande dans le cas linéaire
- 4 Travaux en cours

■ Pas d'incertitude : (1)–(2) \implies système de commutation de la forme

$$\begin{aligned}\dot{x}(t) &= f_{\sigma(t)\hat{\sigma}(t)}(x(t), v(t)), \quad \forall t \notin \{t_k^\sigma\}_{k \in \mathbb{N}^*} \cup \{t_k^{\hat{\sigma}}\}_{k \in \mathbb{N}^*} \\ x(t) &= \lim_{s \rightarrow t, s < t} x(s), \quad \forall t \in \{t_k^\sigma\}_{k \in \mathbb{N}^*} \cup \{t_k^{\hat{\sigma}}\}_{k \in \mathbb{N}^*}\end{aligned}$$

■ Hypothèses

- Délai maximum δ de détection du mode actif, $t_k^{\hat{\sigma}} - t_k^\sigma \leq \delta$
- ADT (average dwell time) : $\mathcal{N}_\sigma(t, s) \leq N_0 + \frac{t-s}{\tau_a}, \forall t \geq s$

■ **Question** : déterminer des conditions suffisantes sur f_{pq} , τ_a et δ pour que le système non-linéaire à commutation soit ISS (input-to-state stable) : $\exists \alpha, \gamma \in \mathcal{K}_\infty$ et $\beta \in \mathcal{KL}$ telles que $\forall x_0 \in \mathbb{R}^n$ et $\forall v \in \mathcal{V}(\mathbb{R}_+, \mathbb{R}^\ell)$,

$$\alpha(\|x(t)\|) \leq \beta(\|x_0\|, t - t_0) + \gamma(\|v\|_{[t_0; t]}), \quad \forall t \geq t_0 \geq 0$$

Théorème (Motchon et al. 2018). S'il existe des fonctions continument dérivables $V_p: \mathbb{R}^n \rightarrow [0; \infty)$, $p \in \mathcal{P}$, des fonctions α_1 , α_2 et ρ de classe \mathcal{K}_∞ , et des constantes $\mu \geq 1$, $\lambda_0 > 0$ et $\lambda \geq 0$ telles que

$$(a) \quad \forall p \in \mathcal{P}, \alpha_1(\|x\|) \leq V_p(x) \leq \alpha_2(\|x\|)$$

$$(b) \quad \forall p, q \in \mathcal{P}, [\nabla V_p(x)]^\top f_{qp}(x, v) \leq \lambda_{qp} V_p(x) + \rho(\|v\|) \text{ avec}$$

$$\lambda_{qp} = \begin{cases} -\lambda_0 & \text{if } p = q, \\ \lambda & \text{if } p \neq q. \end{cases}$$

$$(c) \quad \forall p, q \in \mathcal{P}, V_p(x) \leq \mu V_q(x)$$

alors le système bouclé est ISS lorsque $\tau_a > [\ln \mu + (\lambda_0 + \lambda) \delta] / \lambda_0$.

K.M.D. Motchon, L. Etienne, and S. Lecoeuche, Input-to-state stability of switched nonlinear system with delay in the active mode detection and average dwell-time, Int J Robust Nonlinear Control, 2018 (Soumis)

- Fonctions α , β et γ :

$$\alpha = \alpha_1 \quad ; \quad \beta(\|x_0\|, t - t_0) = \mu^{N_0+1} e^{(N_0+1)(\lambda_0+\lambda)\delta} e^{-(t-t_0)\gamma_a} \alpha_2(\|x_0\|)$$

$$\gamma(\|v\|_{[t_0;t]}) = \frac{\mu e^{(N_0+1)\lambda_0\tau_a + (\lambda_0+\lambda)\delta}}{(1 - e^{-\tau_a\gamma_a})\lambda_0} \rho(\|v\|_{[t_0;t]})$$

avec

$$\gamma_a = \lambda_0 - \frac{\ln \mu + (\lambda_0 + \lambda)\delta}{\tau_a}.$$

- $\delta = 0 \implies$ **Conditions ISS de Vu et al. (2007)**

☞ Condition (b) : $[\nabla V_p(x)]^\top f_{p,p}(x, v) \leq -\lambda_0 V_p(x) + \rho(\|v\|)$

☞ Condition ADT : $\tau_a > \ln(\mu) / \lambda_0$

L. Vu, D. Chatterjee and D. Liberzon, Input-to-state stability of switched systems and switching adaptive control. Automatica, 43 : 639–646, 2007.

- 1 Formulation générale des problèmes traités
- 2 Analyse de la stabilité : cas non perturbé
 - Formalisme hybride du système
 - Conditions suffisantes de stabilité
 - Exemple numérique
- 3 Analyse de la stabilité et synthèse de commande : cas sans incertitude
 - Conditions générales d'analyse de la stabilité
 - Conditions SoS pour l'analyse dans le cas polynomial
 - Synthèse de la commande dans le cas linéaire
- 4 Travaux en cours

Théorème (Motchon et al. 2018). Supposons que les fonctions F_p et G_p soient polynomiales. S'il existe des fonctions polynomiales définies positives V_p , des constantes $\mu \geq 1$, $\lambda_0 > 0$, $\lambda \geq 0$, $\varepsilon > 0$ et $\theta > 0$ telles que

(a) $\forall p \in \mathcal{P}$, $V_p(x) - \varepsilon \|x\|^2$ est **SOS**

(b) $\forall p, q \in \mathcal{P}$, $-\left[\nabla V_p(x)\right]^T f_{qp}(x, v) + \lambda_{qp} V_p(x) + \theta \|v\|^2$ est **SOS** avec

$$\lambda_{qp} = \begin{cases} -\lambda_0 & \text{if } p = q, \\ \lambda & \text{if } p \neq q. \end{cases}$$

(c) $\forall p, q \in \mathcal{P}$, $\mu V_q(x) - V_p(x)$ est **SOS**

alors le système bouclé est ISS lorsque $\tau_a > [\ln \mu + (\lambda_0 + \lambda) \delta] / \lambda_0$.

- Modèle thermique simplifié d'un bâtiment à deux chambres, Meyer et al. (2014) :

$$\dot{\Theta}_i = \sum_{j \in J} \varsigma_{ij} (\Theta_j - \Theta_i) + \varsigma_{i \text{ ext}} (\Theta_{\text{ext}} - \Theta_i) + \kappa_i \omega_i \left(\bar{\Theta}_i^4 - \Theta_i^4 \right) + u_i$$

- $J = \{1, 2\}$
- Θ_i , température de la chambre $i \in \{1, 2\}$
- Θ_{ext} , température extérieure
- ς_{ij} coefficients de transfert de la chaleur
- $\omega_i \in \{0, 1\}$ est une perturbation ; $\omega_i = 1 \implies$ présence humaine dans la chambre i

- Variable d'état, $x = [\Theta_1 \quad \Theta_2]^\top - [\Theta_1^{obj} \quad \Theta_2^{obj}]^\top$

- Objectif : Maintenir la température des chambres autour de $\Theta^{obj} = [\Theta_1^{obj} \quad \Theta_2^{obj}]^\top$ en utilisant une commande

$$u = \begin{pmatrix} u_1 \\ u_2 \end{pmatrix} = \begin{pmatrix} 0.5(\Theta_1^{obj} - \Theta_1) - \varsigma_{1 \text{ ext}} (\Theta_{\text{ext}} - \Theta_1) - \hat{\omega}_1 \kappa_1 \left(\bar{\Theta}_1^4 - \Theta_1^4 \right) \\ 0.5(\Theta_2^{obj} - \Theta_2) - \varsigma_{2 \text{ ext}} (\Theta_{\text{ext}} - \Theta_2) - \hat{\omega}_2 \kappa_2 \left(\bar{\Theta}_2^4 - \Theta_2^4 \right) \end{pmatrix}$$

P.-J. Meyer, H. Nazarpour, A. Girard and E. Witrant, Experimental implementation of UFAD regulation based on robust controled invariance. In : 13th European Control Conference, 1468–1473, June 24-27, 2014.

Paramètres	Résultats
$\varepsilon = 5, N_0 = 2$	$\mu^{N_0+1} e^{(N_0+1)(\lambda_0+\lambda)\delta} = 3.3$
$\mu = 1.1$	$\alpha_2(x) = 0.2 x ^6 + 2.2 x ^4 + 15 x ^2$
$\delta = 1$	$\gamma_a = 1; \tau_a = 3; \theta = 510^{-5}$
$\lambda = \lambda_0 = 0.1$	$\frac{\mu e^{(N_0+1)\lambda_0\tau_a+(\lambda_0+\lambda)\delta}}{(1 - e^{-\tau_a\gamma_a})\lambda_0} = 15; \rho(\ v\) = \theta v_1^2 + \theta^2 v_2^2 + \theta^4 v_2^4$

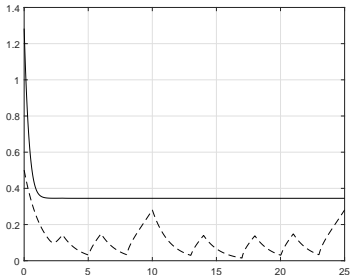


Figure – Norme $\|x(\cdot)\|$ de $x = [\Theta_1 \quad \Theta_2]^\top - [\Theta_1^{obj} \quad \Theta_2^{obj}]^\top$ (en pontillé) et l'estimation de la borne limite sur l'erreur de stabilisation (en ligne continue).

- 1 Formulation générale des problèmes traités
- 2 Analyse de la stabilité : cas non perturbé
 - Formalisme hybride du système
 - Conditions suffisantes de stabilité
 - Exemple numérique
- 3 Analyse de la stabilité et synthèse de commande : cas sans incertitude**
 - Conditions générales d'analyse de la stabilité
 - Conditions SoS pour l'analyse dans le cas polynomial
 - Synthèse de la commande dans le cas linéaire**
- 4 Travaux en cours

$$F_{\sigma(t)}(x(t), u(t), v(t)) = A_{\sigma(t)} x(t) + B_{\sigma(t)} u(t) + E_{\sigma(t)} v(t) \quad ; \quad u(t) = K_{\hat{\sigma}(t)} x(t).$$

Théorème (Motchon et al. 2018). S'il existe des constantes $\lambda_0 > 0$, $\lambda \geq 0$, $\mu \geq 1$ et $\theta > 0$, des matrices définies positives $S_p \in \mathbb{R}^{n \times n}$, $p \in \mathcal{P}$ et des matrices $U_p \in \mathbb{R}^{m \times n}$ telles que :

$$(a) \quad \forall (p, q) \in \mathcal{P} \times \mathcal{P}, A_q S_p + B_q U_p + S_p A_q^T + U_p^T B_q^T - \lambda_{qp} S_p + \frac{1}{\theta} E_q E_q^T \preceq 0 \text{ avec}$$

$$\lambda_{qp} = \begin{cases} -\lambda_0 & \text{if } p = q, \\ \lambda & \text{if } p \neq q. \end{cases}$$

$$(b) \quad (p, q) \in \mathcal{P} \times \mathcal{P}, S_p - \mu S_q \preceq 0$$

alors pour les gains

$$K_p = U_p S_p^{-1}, \quad p \in \mathcal{P}$$

le système bouclé est ISS lorsque $\tau_a > [\ln \mu + (\lambda_0 + \lambda) \delta] / \lambda_0$.

Cas où $E_q = 0_{n \times \ell}$ et $v \equiv 0$

- Notre condition ISS \implies Condition UGAS de Zhang and Gao (2010)

$$\alpha_1(\|x(t)\|) \leq \mu^{N_0+1} e^{(N_0+1)(\lambda_0+\lambda)\delta} e^{-(t-t_0)\gamma_a} \alpha_2(\|x_0\|)$$

- Notre résultat de synthèse \implies Résultats de synthèse de Zhang and Gao (2010)

L. Zhang and H. Gao, Asynchronously switched control of switched linear systems with average dwell time. *Automatica*, 46 : 953–958, 2010.

Commande commutée du modèle à commutation de suspension de véhicule de Du et al. (2014)

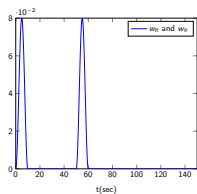
$$\dot{x}(t) = Ax(t) + B_{\sigma(t)} u(t) + E v(t) \quad ; \quad u(t) = K_{\hat{\sigma}(t)} x(t)$$

- $x(t) \in \mathbb{R}^{14}$
- $u(t) \in \mathbb{R}$, force appliquée aux roues
- $v(t) \in \mathbb{R}^4$, entrée inconnue modélisant les imperfections de la route

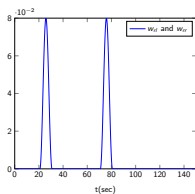
H. Du, N. Zhang and L. Wang, Switched control of vehicle suspension based on motion-mode detection. *Vehicle System Dynamics*, 52(1) : 142–165, 2014.

- Valeur des paramètres : $\delta = 0.5$, $\mu = 1.5$, $\lambda_0 = 0.04$, $\lambda = 0.01$ et $\theta = 63.50$

Figure – Profil de la route

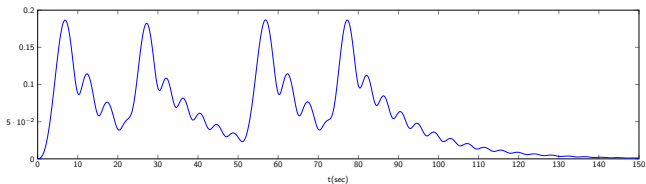


(a) Perturbations sur les pneus avant



(b) Perturbations sur les pneus arrière

Figure – Évolution de la norme $\|x(\cdot)\|$ du vecteur d'état



Sommaire

- 1 Formulation générale des problèmes traités
- 2 Analyse de la stabilité : cas non perturbé
 - Formalisme hybride du système
 - Conditions suffisantes de stabilité
 - Exemple numérique
- 3 Analyse de la stabilité et synthèse de commande : cas sans incertitude
 - Conditions générales d'analyse de la stabilité
 - Conditions SoS pour l'analyse dans le cas polynomial
 - Synthèse de la commande dans le cas linéaire
- 4 Travaux en cours

- Extension du résultat de synthèse au cas non-linéaire avec des méthodes **SoS**
- Hypothèses de MDADT (mode-dependent average dwell time) sur σ

Merci pour votre attention